

## 活性汚泥の沈降性状に関する基礎的研究

国立公衆衛生院 (正) ○眞柄 泰基, 北海道大学 (学) 宇土沢 光賢

### はじめに

活性汚泥法による污水处理の効率を支配するのは活性汚泥を構成する微生物群によって汚水中の有機物が溶液系から除去されるプロセスと沈殿池における固液分離操作にあることは広く知られている。前者の問題に関しては、例えばプロセスの定常状態の維持管理に関する諸要素については古くから数多くの研究が行なわれている。しかし後者の問題、とくに活性汚泥の沈降性状に関する研究はその例が少ないのである。

環境(水質)への排出有機物量を増々少なくしなければならない今日、三次処理あるいは高度処理を行えばその目的を達成できようが、既存の施設の放流水の浮遊物濃度を減少することによってもその目的は相当のところまで達成できると考えられる。また、水質基準あるいは放流水基準を上回る原因の多くは沈殿池から活性汚泥フロックが流出していることによる。

以上のように活性汚泥法のメカニズムの解明、また実際問題としては既存施設の効率向上のためにも活性汚泥の沈降に関する研究の必要性は高いと思われる。なお、最後沈殿池上澄水の浮遊物濃度を左右する因子としては沈殿池そのものの構造(幅と長さの比、整流効果など)と活性汚泥の沈降性状の2つに大別されるが、本研究は後者に関する問題をとりあげたものである。

### 活性汚泥の沈降性状

活性汚泥の沈降性状は活性汚泥フロックの形と密度および凝集性の3つに分けて考えることができよう。形と密度は活性汚泥の沈降速度に直接関係しており、一つのグループとして扱って良いであろう。活性汚泥フロックのうち寸法の大きいものは、いわば接觸凝集沈殿池における母フロックに相当するものであり、活性汚泥プロセスにおいては送送汚泥としてエアレーションタンクに戻され、循環するものである。凝集性は沈後水の浮遊物濃度に直接関係しており、これに関するのは活性汚泥フロックのうち寸法の小さなフロックであり、その多くはエアレーションおよび沈降過程で母フロックに吸合されるものである。

活性汚泥フロックの形と密度に関する従来の報告では、活性汚泥をスライドグラスあるいはその類似した容器中に落として顕微鏡で測定したり、ろ紙上に活性汚泥をのせ、乾燥したのちその形を測定したり、あるいは沈降分析を行なって形を測定している。また密度に関する場合は、密度標準液中にフロックを滴下して測定したり、懸濁液の密度に関する物質販支をとつて求めたり、あるいは乾燥重量を測定して求めている。いずれの方法もエアレーションタンク内の活性汚泥の形と密度を正確には求めていはない。たとえば顕微鏡で求める方法では、スライドグラス上に試料を移すことによってフロック相互が合へ、フロックが変化するからである。また懸濁液の密度から活性汚泥の密度を求める方法によると、乾燥汚泥の密度の値を得るが、実際の活性汚泥フロックはその周囲に液体を囲んで移動するものであり、この値とは異っていよう。

活性汚泥の主要構成微生物であるバクテリアの寸法は数μ程度であり、プロセス内で分裂、増殖、

減衰と変化しているものであるから、その性状を考えるには当然その生理学条件をも考慮しなければならない。多くの研究者は生物の増殖相の変化に伴ってコロイドの凝集性状の一つである表面電位を測定し、その値とフロック形成との関係を調べている。その結果はフロック形成と表面電位が関係するもの<sup>1)</sup>、関係しないもの<sup>2)</sup>とに分れており、不明確である。またフロック形成はバクテリアによって生成される *Polyseacharide* や *Polyaminoacids* のような高分子の粘液物質が関係するものと考え、その粘液物質を測定した例が報告されている。しかしこれに拘しても、粘液物質が多いとフロック形成が促進されるものと阻害されるものとの二者があり、不明確である。

以上のようなことから、活性汚泥フロックの量と密度に関する限りでは、できるだけ正確にエアレーションタンク内と同じような形で求めるよう配慮し、種々の条件下における量および密度を測定した。また凝集性状については電気泳動度、粘液物質との関係を調べた。

### 活性汚泥フロックの量と密度

乱流条件下にある粒子は乱流変動によって生ずる剪断力で破壊される。その乱れの場合におけるフロックの量は式(1)で示される乱れのマイクロスケール以下であり、フロック形成の最終段階の量、すなわちフロックの最大成長量はほぼそのマイクロスケールに匹敵した値となる<sup>3)</sup>。

$$\alpha_0 = \left( \frac{\gamma^2 f_0}{\epsilon_0} \right)^{1/4} \quad \dots \dots \dots (1)$$

$\alpha_0$  = 乱れのマイクロスケール、 $\gamma$  = 動粘性係数、 $f_0$  = 水の密度、

$\epsilon_0$  = 有効エネルギー消費率

この最大成長量が乱れのマイクロスケールに近くなった領域、すなわち慣性領域への遷移領域でも式(1)が成り立つことが明らかにされている。有効エネルギー消費率は空気吹込み方式のエアレーションタンクの場合、その空気量 K 比例することになる。

したがって活性汚泥フロックの物理的性状を測定するには、エアレーションタンクの攪拌条件が同一になるような場を設定して、そこにおける活性汚泥フロックの量と密度を測定すれば長いことになる。

表-1. 活性汚泥の馴養条件および活性汚泥フロックの密度特性

活性汚泥の 馴養条件	有効密度			密度閾値	
	最小	平均	最大	a	n
1. 0.2 kg COD/kg MLSS	0.0419	0.1534	0.4780	$2.07 \times 10^{-3}$	1.093
2. 0.4 "	0.0409	0.1094	0.3690	$1.50 \times 10^{-3}$	1.219
3. 0.6 "	0.0314	0.0872	0.3270	$3.10 \times 10^{-3}$	0.936
4. 0.8 "	0.0150	0.0539	0.1640	$2.50 \times 10^{-3}$	0.923
5. 1.0 "	0.0147	0.0611	0.3510	$3.80 \times 10^{-3}$	0.867

### 実験

グルコースを炭素源とする人工下水で24時間サイクルのfill and drawで馴養した表-1に示す5種類の活性汚泥についてフロックの量と密度をエアレーション時間の経過に従って丹保等の方法<sup>4)</sup>で測定した。

## 方 法

沈降管付ジャーテスターにエアレーションタンク内混合液を移し、攪拌状態のまま上部測面の透明板近傍のフロックを写真撮影してフロック径を測定した。また下部の沈降管にフロックを数個落し、その沈降速度を測定し、同時に写真撮影して全を求め、ストークスの式から導いたフロックの有効密度を示す式-(2)にそれを代入し、フロックの有効密度を求めた。

$$f_e = 0.03698 \times \frac{\mu_w \cdot V_0}{d^2 \text{avg}} \quad \dots \dots \dots \quad (2)$$

ここに,  $f_e$  = 活性汚泥フロックの水中での有効濃度,  $M_0$  = 水の粘性係数,  $V_0$  = 粒子の沈降速度,  $d_{avg}$  = 粒子の平均径, なお, 粒子の形状係数は 0.847 とした。

活性汚泥フロックの壊はその置かれてる場の乱れの程度によって規制されるので、この測定に際しては次の方法によりエアレーションタンクの攪拌強度と同一になるようにジャーテスターの攪拌条件を設定した。

エアレーションタンクおよび物性測定用ジャーテスターの攪拌強度は種々の攪拌条件下における硫酸アルミニウムフロックの最大成長率を測定して求めた。なお凝聚条件はカオリンを濃度としALT比が $=1$ 、 $\text{pH}$  8.4～8.8である。その結果図-1に示すように、エアレーションタンクの吹込空気量 $\text{ml}/\text{分}$ (この空気量はエアレーション時間中常に溶解酸素が $1\text{ppm}$ 以上存在させるために必要であった)と同じ攪拌条件を得るには、ジャーテスターの回転数を $40\text{ rpm}$ 、空気量を $3\text{l}/\text{分}$ に設定してやれば長いことが明らかになった。なお、この攪拌条件のエネルギー消費率は $10^4\text{ erg/cm}^3\cdot\text{sec}$ でCampの $G$ 値では $10^2$ となり、いわゆる急速攪拌に相当する。

## 結果・考察

エアレーションタンクに人工下水が流入してからエアレーション時間の経過に伴う、活性汚泥フロックの平均径の変化を図-1に示す。これによると活性汚泥のフロック径はエアレーションの経過に伴い、一定の傾向を持って変化しないものと思われる。またその平均径は活性汚泥に対する有機物負荷が大きいほどフロック径が大きくなる傾向がある(図-3)。

式-(1)にしたがって、このエアレーショントンクの転換のマイクロスケー

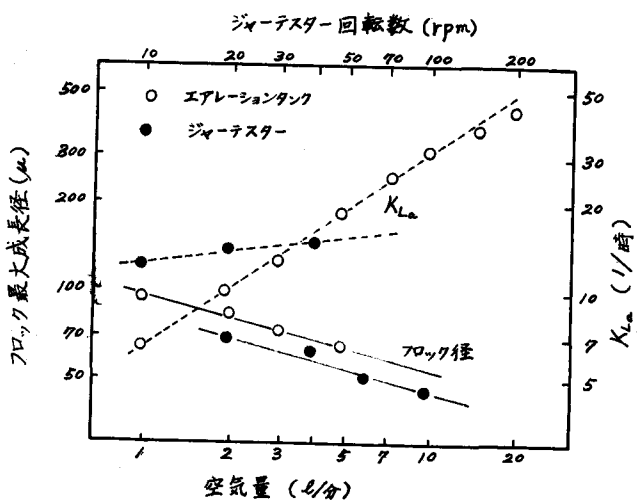


図-1 搪拌条件とフロック最大成長径および  $K_c$

ルを求めるとき約170mになり、ほぼ5種類の活性汚泥の平均至160mに相当する値となる。したがって活性汚泥についてもそのフロック径を律するものとしてエアレーションタンクの搅拌強度を考えねばならない。しかしフロック径は図-4に示すように数百mに達するものもあることから最大成長径は搅拌強度に律されないものと考えられる。この粒径の大きなフロックは沈殿過程のフロック形

成、圧密による圧着力などによって生成されるものであろうが、これがそのまゝより小さなマイクロスケールが卓越する乱流下でも存在することから、一度生成したフロックの結合強度はかなり大きいものと思われる。

活性汚泥フロックの密度は一定の値とならず、表-1に示すように有効密度で0.0147~0.4780まで大きく変化した。各汚泥の有効密度の平均値は図-3に示すように有機物負荷が高いほど小さくなる傾向がある。またこの有効密度はフロック径と図-4、式-(3)に示す関係があることを示した。

$$f_e = \frac{a}{(d_{avg}/1)^n} \quad \dots \dots \dots (3)$$

ここに、 $f_e$ =活性汚泥フロックの有効密度、 $d_s$ =フロック径、 $a=d_s$ が1cmのときの有効密度、

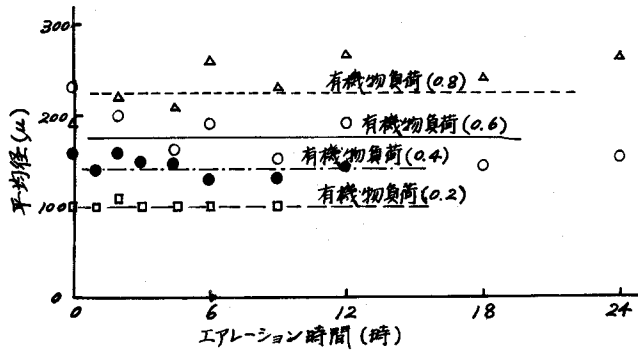


図-2 フロック径の経時変化

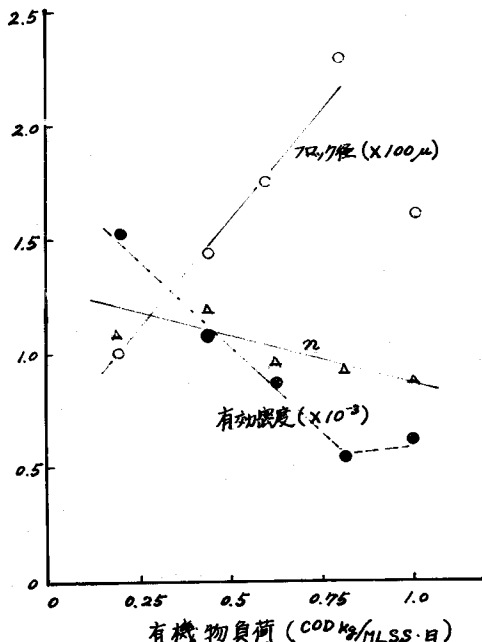


図-3 活性汚泥の物理と有機物負荷の関係

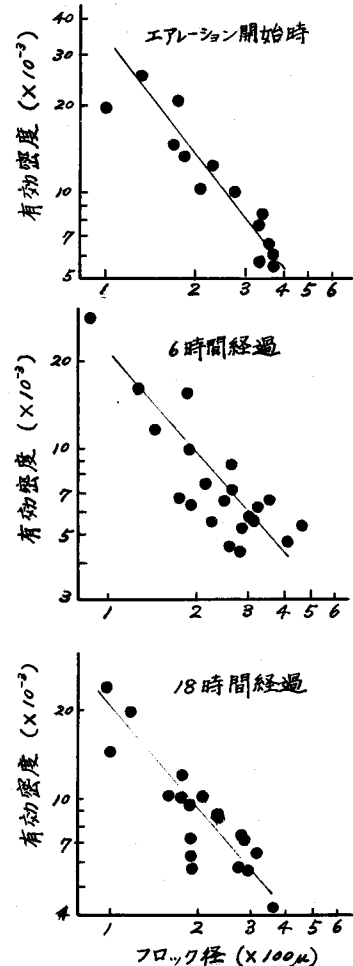


図-4 フロック径と有効密度

$n$  = フロックの密度関数(直線の傾き)。式-(3)の関係は活性汚泥フロックの直径が大きくなるにつれてその密度が小さくなることを示しており、凍結乾燥した活性汚泥に残存している水分と活性汚泥の沈降性との関係を調べ、このフロック間隙水に相当する水分が減少するほど沈降性が長くなるというHeukelkianの報告<sup>4)</sup>と合わせ考えれば、活性汚泥はそのフロック形成の過程で間隙水を取り込むと考えることができよう。

フロック直径と有効密度との関係は、エアレーション開始後、溶液中の基質が除去された時刻、活性汚泥の増殖が盛んな時刻では不明瞭による傾向が見られた。

5種類の活性汚泥の密度関数 $n$ 、 $n$ の平均値は表-1に示した。フロック直径の増大に伴う空隙の割合を示す $\alpha$ の値は図-3に示すように、有機物負荷が大きいほど小さくなる傾向がある。これと、先の直径について得られた傾向から有機物負荷が高い時に発生するバーリング汚泥は、空隙率と間隙水が多いが、直径は大きいものであることが分った。

### 活性汚泥の凝聚性状

#### 実験

エアレーションタンク混合液をエアレーション開始後適宜採取した試料および実験プラント処理水と同じ基質濃度の液に種植したものを振とう培養し、適宜採取した試料につき活性汚泥の生化学的性状ならびに試料を30分沈殿させた上澄水中の活性汚泥フロックの電気泳動度について測定を行なった。ただし、振とう培養液については、30分静置しても懸濁したままなのでそのまま測定した。

電気泳動度は式-(2)に従って求めた。

$$M = \frac{dA}{t \cdot i \cdot R_s} \quad \dots \dots \dots \quad (2)$$

$M$ : 粒子の泳動度 ( $\mu/\text{sec}/v/cm$ )、 $d$ : 時間に粒子が移動した距離 ( $\mu$ )、 $i$ : 測定セル中を流水に電流 ( $amp$ )、 $R_s$ : 懸濁液の比抵抗 ( $ohm \cdot cm$ )、 $A$ : 電位勾配に直角方向のセル断面積 ( $cm^2$ )、なお、フロックの界面動電性を表わすのに、ゼータ電位を用いなかったのは、活性汚泥ではイオン強度、透電恒数等が不明瞭であるためであるが、電気泳動度によればフロックの定性的な議論は可能であると考えられる。

生化学的性状のうち、細胞外粘着物については、漉口の方法<sup>8)</sup>、UEDA等の方法<sup>9)</sup>に準拠したが、他の項目については筆者がすでに報告した論文<sup>10)</sup>と同じである。

#### 結果、考察

エアレーションあるいは振とう培養時間の経過に伴う、活性汚泥の諸性状について測定した結果を図-5、図-6、図-7に示す。

いずれの場合についても、エアレーション時間が経過するにつれて電気泳動度が増加し、それとともに強度も高くなる傾向があり、活性汚泥の凝聚性状と電気泳動度は一定の相関を示すものと考えられる。なお、容易に沈降するマクロフロックについても電気泳動度を測定したが、上澄水中に残っているフロックのような変化は示さなかつたことから、活性汚泥の凝聚性状は沈殿池を経ていろいろマクロフロック群により定まる事になる。

また、図-5、図-7は、活性汚泥より抽出した高分子化合物も電気泳動度と同様な関係があるこ

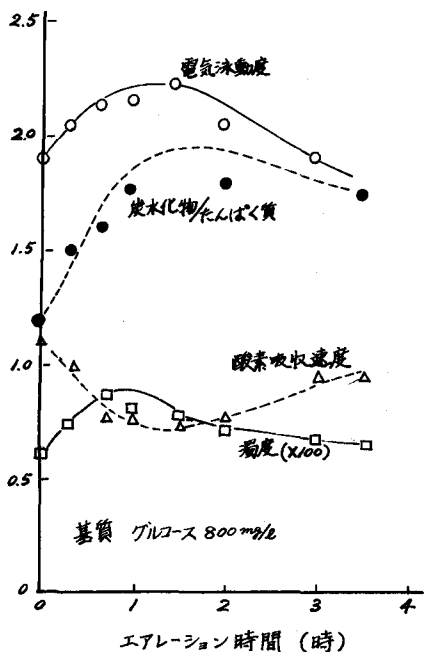


図-5 活性汚泥の性状の経時変化

とを示している。すなわち、活性汚泥の凝聚性状は高分子化合物がフロック表面に分泌されるようになると悪くなるものと考えられる。

活性汚泥の凝聚性状が悪くなるのは、基質が汚泥に吸着移行して、活性汚泥フロック内に基質が充分に存在する頃、すなわち活性汚泥が対数増殖相にある時である。

この対数増殖期には、沈降速度を律するフロックの性状が不安定になることからも、活性汚泥の浮遊物濃度から見た沈後水の性質は活性汚泥の相によって定まるものと考えられる。活性汚泥の基質除去活性は生物が増殖相にあたり、吸着している基質量が多いときには小さくなるという結論と合わせ考えれば、活性汚泥プロセス全体の処理効率を律するものが明らかになるものと考えられる。<sup>10)</sup>

図-8は同一有機物負荷で馴養した活性汚泥で空気量するうち攪拌強度が変わった場合の上澄水の浓度と電気泳動度の測定結果である。攪拌強度が大きいと浓度が大きくなるのはフロックが剪断力を受

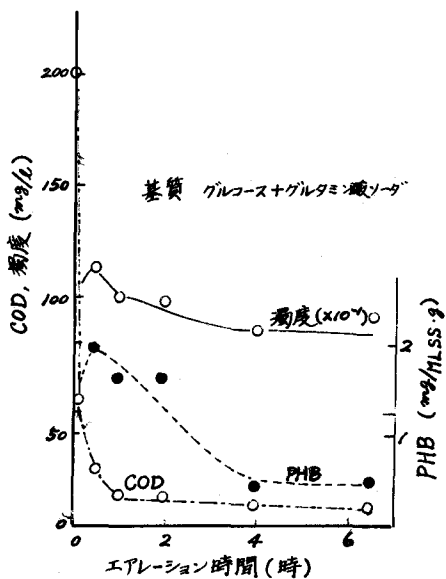


図-6 濁度およびPHBの経時変化

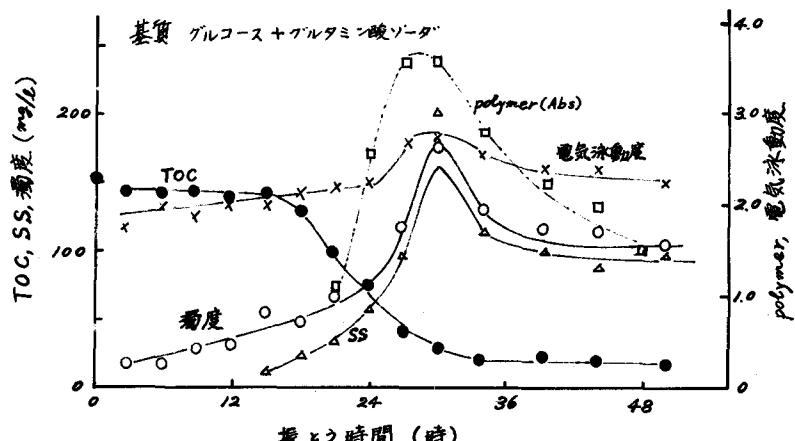


図-7 活性汚泥フロックの経時変化

りて解体したものと考えられるが、電気泳動度も高くなつてあり、空気量が多いために活性汚泥の生化学的性状が変化したものとも考えられ、その理由は明確ではない。しかし清澄な処理水をうるには、沈殿操作前での強い攪拌はさけなければならぬ。

まとめ、

活性汚泥フロック径はエアレーション時間によって変化するのではなく、有機物負荷によって変化する。

活性汚泥フロックは径が大きくなるほど、空隙が大きくなる傾向がある。すなわちバルキングした汚泥は、径は大きいが、密度の小さい、空隙の大きいフロックである。

活性汚泥の凝聚性状は活性汚泥の増殖相によって変化し、対数増殖相の時が一番劣る。凝聚性状はフロックの電気泳動度、活性汚泥が生成する高分子有機物と関係があり、いづれも高くなると凝聚性状は悪化する。

エアレーションタンクの攪拌が強いと濁度は高くなる。

おわりに、

本研究に御指導頂いた北大、寺島教授、丹保教授、神山助教授ならびに衛生院南部部長また実験に協力して下さった北大、衛生院の皆様に感謝致します。

参考文献

- 1) Moyer, L. S. "changes in the electrokinetic potential of bacteria at various phase of the culture cycle." *J. Bacteriology*, Vol 32, No. 4, 4.
- 2) 合、柴谷 "微生物の凝聚に関する二、三の実験," *醸工* 46, No. 4
- 3) Teuny, N. W., et al. "chemical flocculation of microorganism in biological waste treatment." *WPCF* Vol 37.
- 4) Tuni E, "Pathways for Biosynthesis of a Bacterial Capsular Polysaccharides." *J. Bacteriology*. Vol 87, No. 2.
- 5) 丹保憲仁 等 "フロック形成過程の基礎的研究. I, II, III." *水協誌*, No. 372, 381, 382.
- 6) 丹保憲仁 等 "フロック強度に関する研究," *水協誌* No. 429.
- 7) Henkalekian, H., et al. "Bound Water and Activated Sludge." *S. IW*, Vol 28.
- 8) 滝口 "活性汚泥中の粘質物に関する研究" *用水と廃水*, Vol 13, No. 5.
- 9) VEDA, S., et al "Polysaccharides Produced by Genus *Pullularia*. I. Production of

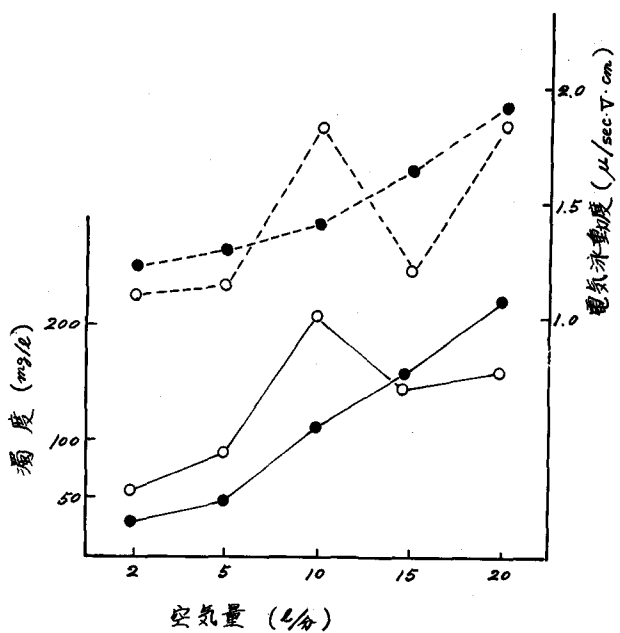


図-8 空気量と濁度および電気泳動度の関係

*polysaccharide by growing cells." Appl. Microbiol. 11, 211.*

10) 真柄泰基, 林田進 "活性汚泥の基質除去活性に関する研究", 下水協誌, Vol 9, No 97.